

3  
524

P-59

29.

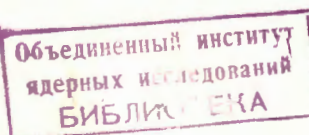
ОБЪЕДИНЕННЫЙ ИНСТИТУТ ЯДЕРНЫХ ИССЛЕДОВАНИЙ

Лаборатория теоретической физики

В.С. Баранников, Б.И. Барбашов, Э.Г. Буболов.

СТАТИЧЕСКАЯ ТЕОРИЯ МНОЖЕСТВЕННОГО РОЖДЕНИЯ ЧАСТИЦ  
ПРИ СТОЛКНОВЕНИИ БЫСТРЫХ НУКЛОНОВ.

Ниже с.м., 1958, №7, загр. №<sup>1</sup>,  
п. 117-128.



- I -

### Аннотация

Методом статистической теории расчитаны вероятности рождения частиц в нуклон - нуклонных соударениях, с учетом сохранения барионного числа, странных, изотопического спина. Для согласования с опытными данными по относительному рождению странных и обычных частиц необходимо в первоначальный вариант теории, предложенной Ферми, ввести дополнительный параметр. В статье рассматриваются две модели теории с дополнительным параметром. Число рождающихся антинуклонов в обоих вариантах приблизительно одинаково и равно одному антинуклону на 2 - 3 тысячи пинов для 7 Бэв и на двести-триста пинов для 10 Бэв.

## I. Введение.

Было показано<sup>(I)</sup> что можно добиться согласования результатов статистической теории с опытом по пионному рождению в нуклон - нуклонных соударениях введением в теорию фиктивной частицы "изобары", что эквивалентно феноменологическому учету сильного взаимодействия пионов с нуклонами в состояниях  $P = 3/2$ ,  $T = 3/2$ .

Этот феноменологический подход сохранен в данной статье для энергий 3, 5, 7, 10 Бэв, т.к. для этих энергий оказывается возможным рождение странных частиц, то учитывались законы сохранения барионного числа и странности, также как и в ранних работах, учитывалось сохранение изотопического спина и его проекции. В настоящее время в рамках статистической теории не удается учесть закон сохранения момента количества движения. При выполнении расчетов им пренебрегалось, но считалось, что статистический вес системы образовавшихся частиц со спинами  $S_1, S_2 \dots S_k$  равен  $\prod_{i=1}^k (2S_i + 1)$ . Для странных частиц значения спинов выбирались минимальными из возможных  $S = 0$  для К мезона, для остальных странных частиц  $S = \frac{1}{2}$ .

Для согласования с экспериментом по рождению странных частиц нами в теорию введен дополнительный параметр, физический смысл, которого можно понять с точки зрения внутренней структуры сталкивающихся нуклонов.

## 2. ВЫЧИСЛЕНИЕ ФАЗОВЫХ ОБЪЕМОВ.

Фазовые объемы в пространстве импульсов для двух и трех

частиц вычислялись по точным формулам Блока<sup>(2)</sup>. Для большего числа частиц - по формулам:

$$W_{m,n}(\alpha) = 2\pi^{h + \frac{3}{2}(m-1)} \left( \sum_{i=1}^m M_i \right)^{3n + \frac{3}{2}m - 4} \prod_{i=1}^m M_i^{-3/2} \times \\ \frac{\alpha^{3n + \frac{3}{2}m - 5/2}}{\Gamma(3n + \frac{3}{2}(m-1))} F(2n; \frac{3}{2}; 3n + \frac{3}{2}(m-1); -\alpha) \quad (I)$$

где  $m$  и  $n$  - соответственно число крайне нерелятивистских частиц и крайне релятивистских частиц.

$$\alpha = 2 \frac{E}{\sum M_i}$$

$E$  - энергия сталкивающихся частиц в системе центра масс.

$M_i$  - масса нерелятивистской частицы;  $F$  - гипергеометрическая функция. Формула (I) является следствием выражений для фазовых объемов, полученных в работах (3), (4). Для малых значений параметра  $\alpha$  (практически  $< 0,7-0,8$ ) гипергеометрическая функция

$F$  может быть представлена в виде степенного ряда по  $\alpha$

$$F(2n; \frac{3}{2}; 3n + \frac{3}{2}(m-1); -\alpha) = \frac{\Gamma(3n + \frac{3}{2}(m-1))}{\Gamma(3/2)} \times \quad (2) \\ \sum_{k=0}^{\infty} C_{2n-1+k}^k \frac{(-1)^k \Gamma(k + \frac{1}{2})}{\Gamma(k + 3n + \frac{3}{2}(m-1))} \alpha^k$$

где  $\Gamma$  - гамма функция;  $C_{2n-1+k}^k$  - биномиальные коэффициенты.

Для больших значений функция удобно представить для численных расчетов в интегральном виде:

$$F(2n; \frac{3}{2}; 3n + \frac{3}{2}(m-1); -\alpha) = \frac{\Gamma(3n + \frac{3}{2}(m-1))}{\Gamma(n + \frac{3}{2}(m-1)) \Gamma(2n)} \times \\ \times \int_0^1 \frac{t^{2n-1} (1-t)^{n + \frac{3}{2}m - 5/2}}{(1 + \alpha t)^{3/2}} dt$$

При большом числе родившихся частиц ( $> 3$ ) формулы (I)-(3) хорошо аппротимируют точные выражения импульсного объема и в тех случаях, когда часть родившихся частиц являются "промежуточными" т.е. не могут быть отнесены к крайне нерелятивистским или крайне релятивистским частицам. В тех случаях когда точность формул (I) - (3) оказывалась недостаточной, применялись методы интерполяции<sup>I)</sup>.

### 3. МОДЕЛЬ КОМПАУНД - ЧАСТИЦ.

Имеет место резкое расхождение с экспериментом (5), если предположить, что все частицы рождаются в одном пространственном объеме  $V_{\text{П}}$  или  $V_K$  (соответственно с радиусом, равным комптоновской длине волны пиона или К-мезона). Согласие с экспериментом по относительному рождению обычных и странных частиц можно достичь, если предположить, что различные сорта частиц рождаются в различных пространственных объемах. Это можно попытаться понять с точки зрения образования сталкивающимися частицами единой "компаунд-частицы", где вся энергия частиц сосредоточена в энергии взаимодействия, а не в собственной энергии частиц (6). Размеры же областей локализации энергии взаимодействия специфичны для каждого вида взаимодействия.

---

I) Следует отметить, что использование для вычисления (4) замкнутых выражений, полученных в работе(7) затруднительно вследствие исчезновения знаков при вычислении близких величин, входящих в эти выражения.

Нами выполнены расчеты для трех случаев выбора эффективных пространственных объемов, в которых происходит образование вторичных частиц:

1. Все вторичные частицы рождаются в объеме  $V_{\pi}$ . Эти расчеты проведены только для энергий 3 и 5 Бэв, из них видно, что доля странных частиц по отношению к обычным на много больше, чем то, что дает эксперимент. Поэтому расчеты для больших энергий (7, 10 Бэв) с таким выбором пространственного объема не проводились. В таблицах этот случай выбора пространственного объема отмечен индексом (I).

2. Если предположить, что гипероны также сильно взаимодействуют с пионами как и нуклоны, то эти частицы должны рождаться в одном объеме  $V_{\pi}$ . В этом же объеме будут рождаться и соответствующие античастицы, а также изобара и антиизобара. Для  $K$  и  $\bar{K}$  мезонов предполагается значительно менее сильное взаимодействие с пионами и нуклонами, благодаря чему  $K$ -мезоны рождаются в другом объеме  $V_K$ . Введение двух параметров  $V_{\pi}$  и  $V_K$  можно рассматривать как попытку учесть в рамках статистической теории множественного рождения частиц различие во взаимодействиях рождающихся частиц.

Таким образом предположение, что  $K$ -мезоны рождаются в объеме  $V_K$ , а все остальные частицы в  $V_{\pi}$  соответствует выдвинутой Швингером и Телл-Манном гипотезе,, глобального взаимодействия<sup>(7)</sup> барионов с пионами и тесно связана с моделью нуклона, предложенной И.Е. Таммом<sup>(8)</sup>. В таблицах этот случай выбора пространственных объемов отмечен индексом (2).

3. Если предположить, что странные частицы в отличии от нуклонов слабо взаимодействуют с пионами и нуклонами, которые рождаются в  $V_{\pi}$ , то все странные частицы будут рождаться в объеме  $V_K$ . Такой выбор структуры "компаунд-частицы" соответствует гипотезе о структуре нуклона Неганова (9) или Писли (10) и не противоречит модели нуклона, предложенной Таммом. В таблицах этот случай выбора пространственных объемов для рождающихся частиц отмечен индексом (3). Области  $V_{\pi}$  и  $V_K$  можно рассматривать соответственно как область пионных оболочек и кернов нуклонов, радиусы которых порядка  $\pi$ - и  $K$ -мезонных комптоновских длин (8).

#### 4. РЕЗУЛЬТАТЫ ВЫЧИСЛЕНИЙ.

При вычислении мы использовали значения масс элементарных частиц (в единицах массы нуклона), которые приведены в таблице I.

Статистический весовой множитель, обязанный пространственной части фазового объема, в вариантах (2) и (3) вычислялся по формуле

$$V = \frac{(j+i)^j \pi^{j-1}}{N G} \left[ \frac{1}{3\pi^2} \left( \frac{1}{m_{\pi} c} \right)^3 \frac{M c^2}{E_c} \right]^{N-1}$$

где  $j = \left( \frac{m_{\pi}}{m_K} \right)^3$ ;  $m_{\pi}, m_K, M$  - массы пиона, К-мезона и нуклона;  $E_c$  - полная энергия в системе центра тяжести  $G$  - множитель, учитывающий тождественность частиц.  $j$  - число частиц, родившихся в объеме  $V_K$ .  $i = (N-j)$  - число частиц, родившихся в объеме  $V_{\pi}$ . При  $j \rightarrow 0$  переходит в обычный весовой множитель, соответствующий случаю, когда все частицы рождаются в объеме  $V_{\pi}$ .

Результаты вычислений приведены в таблицах ІУ, УІ, УІІ и ХІ. Относительные вероятности возможных реакций даны в процентах. Как уже указывалось, для согласования с опытом необходимо учитывать рождение  $\pi$  мезонов через "изобару"  $N^1$ ; В таблице II и III для 3 и 5 Бэв даны для сравнения вероятности реакций с образованием нуклонов и изобар.

Нами также получены распределения по заряду родившихся в (pp) и (пр) - столкновениях странных частиц. Эти данные приведены в таблице У, УІ, Х. Для вычисления статистических весов в изотопическом пространстве использовались таблицы работы (II).

Для энергий 3 и 5 Бэв в таблице У и УІ приведены распределения по зарядам странных частиц для каждой энергии, а для 7 и 10 Бэв приведены распределения по зарядам странных частиц для реакций просуммированных по числу  $\pi$  мезонов. В этих же таблицах приведены зарядовые множители:

$$T(I; I_z) = K^2(I; I_z; i_z^{(j)}) P(I - \sum i_z^{(j)}; I_z - \sum i_z^{(j)})$$

где  $K$  - коэффициент Клейна - Гордона;  $P$  - изотопический вес соответствующей группы пионов, нуклонов и изобар (II);  $I$  и  $I_z$  - полный изотопический спин и его проекция всей системы.

$\sum i_z^{(j)}$  - сумма изотопических спинов странных частиц, родившихся в данной реакции.

В таблице ХІІ приведены средние значения числа пионов, нуклонов, антинуклонов,  $K$  и  $\tilde{K}$ -частиц, гиперонов  $\Upsilon$  и  $\tilde{\Upsilon}$  антигиперонов в (pp) и (пр) столкновениях, при различных энергиях налетающего нуклона  $E$  и выше обсуждавшихся вариантов

выбора пространственного объема.

В таблицах принято обозначение:  $0,0^357=0,00057$ . На приведенных графиках показано изменение относительных весов реакций с изменением энергии и числа  $\pi$ -мезонов.

### 5. ОБСУЖДЕНИЕ.

Как уже указывалось вариант I, когда все частицы рождаются в одном объеме  $V_{\pi}$  приводит к противоречию с опытом по относительному рождению странных и обычных частиц. Однако несмотря на то, что вероятности рождения странных частиц по второму и третьему вариантам выбора пространственных объемов различаются на порядок, установить, какой из двух последних вариантов более близок к эксперименту, в настоящее время представляется затруднительным. Интересным следствием предположения о том, что странные частицы рождаются в малом объеме, является максимум в отношении числа рождающихся странных частиц по отношению к числу пионов и нуклонов при энергии  $E \sim 7$  Бэв. Причина этого заключается в том, что вероятность реакций ( $NN$ )  $\rightarrow (N\Lambda K^+ \bar{K}^-)$  и ( $NN$ )  $\rightarrow (N\Sigma K^+ \bar{K}^-)$  при переходе от  $E \sim 5-7$  Бэв и  $E \sim 10$  Бэв уменьшается, вероятность же реакций с большим числом  $K$ -мезонов, например ( $NN$ )  $\rightarrow (2N2K^+ \bar{K}^-)$ , ( $NN$ )  $\rightarrow (2\Lambda 2K^+ \bar{K}^-)$  и т.д., хотя и возрастает с энергией, однако не настолько быстро, чтобы увеличить долю выхода странных частиц, т.к.  $K$  мезоны рождаются в малом объеме  $V_K$ , то вероятность их рождения значительно меньше, чем вероятность

венный вклад могут давать реакции типа:  $(NN) \rightarrow (2N 2\sum n\bar{n})$ .  
 $(NN) \rightarrow (NN\Lambda\Lambda\pi^-)$  и т.д. и доля странных частиц, возможно, будет возрастать с ростом энергии.

Число рождающихся антинуклонов мало зависит от выбора варианта пространственных объемов и приблизительно равно одному антинуклону на две-три тысячи пионов для энергии  $E = 7$  Бэв и одному антинуклону на одну-две сотни нуклонов при энергии  $E = 10$  Бэв. Этот результат можно по порядку величины согласовать с экспериментальными данными: один антинуклон на  $6 \cdot 10^4 - 5 \cdot 10^5$  отрицательных пионов, на медной мишени, облученной протонами с энергией  $E = 6,2$  Бэв (I2) (I3), если учесть аномально малый пробег антинуклонов в ядерном веществе по отношению к процессам аннигиляции ( ).

$$S_{\text{антинук}} = \frac{1}{\sigma_{\text{ант}} n} \sim \frac{\hbar}{m_n c}$$

Благодаря этому антинуклон, родившийся на одном из нуклонов в ядре  $Cu$ , аннигилирует практически на следующем же нуклоне, а из ядра могут вылететь лишь антинуклоны, родившиеся на поверхности ядра. Учитывая, что налетающий нуклон взаимодействует в ядре  $Cu$  с "трубкой", содержащей в среднем 3-4 нуклона, и что  $\frac{Gef}{\sigma_{inel}} \sim 0,25$ , получим вероятность налетающему нуклону достигнуть последнего нуклона в трубке с малой потерей энергии  $W \sim 5 \cdot 10^{-2}$ . Именно эти нуклоны дадут основной вклад в рождение антинуклонов на ядре  $Cu$ , т.к. сечение рождения антинуклонов быстро уменьшается с уменьшением энергии (см. таблицу. ). Приведенные соображения уменьшают отношение антинуклонов и пионам до экспериментально изведенной величины<sup>2)</sup>.

<sup>2)</sup> При этом следует учесть, что нуклон в ядре имеет энергию Ферми  $\sim 25$  Мэв, вследствие этого сталкивающиеся нуклоны в опытах ( ) ( ) имели в системе центра масс ту же энергию, что и при столкновении свободных нуклонов с энергией  $E \sim 7$  Бэв.

выбора пространственного объема.

В таблицах принято обозначение:  $0,0^357=0,00057$ . На приведенных графиках показано изменение относительных весов реакций с изменением энергии и числа  $\pi$ -мезонов.

### 5. ОБСУЖДЕНИЕ.

Как уже указывалось вариант I, когда все частицы рождаются в одном объеме  $V_K$  приводит к противоречию с опытом по относительному рождению странных и обычных частиц. Однако несмотря на то, что вероятности рождения странных частиц по второму и третьему вариантам выбора пространственных объемов различаются на порядок, установить, какой из двух последних вариантов более близок к эксперименту, в настоящее время представляется затруднительным. Интересным следствием предположения о том, что странные частицы рождаются в малом объеме, является максимум в отношении числа рождающихся странных частиц по отношению к числу пионов и нуклонов при энергии  $E \sim 7$  Бэв. Причина этого заключается в том, что вероятность реакций  $(NN) \rightarrow (N\Lambda K \text{ и } \bar{\pi})$  и  $(NN) \rightarrow (N\Sigma K \text{ и } \bar{\pi})$  при переходе от  $E \sim 5-7$  Бэв и  $E \sim 10$  Бэв уменьшается, вероятность же реакций с большим числом  $K$ -мезонов, например  $(NN) \rightarrow (2\Lambda 2K \text{ и } \bar{\pi})$ ,  $(NN) \rightarrow (2\Sigma 2K \text{ и } \bar{\pi})$  и т.д., хотя и возрастает с энергией, однако не настолько быстро, чтобы увеличить долю выхода странных частиц, т.к.  $K$ -мезоны рождаются в малом объеме  $V_K$ , то вероятность их рождения значительно меньше, чем вероятность множественного рождения пионов и нуклонов. В варианте 2 существует

- 10 -

Таблица № I

| <u>π</u>       | <u>K<sub>12</sub></u> | <u>n<sub>12</sub></u> | <u>λ<sub>12</sub></u> | <u>Σ<sub>12</sub></u> | <u>n<sub>12</sub></u> | <u>Ξ<sub>12</sub></u> |
|----------------|-----------------------|-----------------------|-----------------------|-----------------------|-----------------------|-----------------------|
| M <sub>1</sub> | 0,15                  | 0,526                 | I                     | I,19                  | I,27                  | I,32                  |

- II -

З Бэв

Т а б л и ц а № П.

| Вторичные<br>частицы | Статистический вес |       |                   |       |
|----------------------|--------------------|-------|-------------------|-------|
|                      | (pp)-столкновение  |       | (pr)-столкновение |       |
|                      | $v_2$              | $v_3$ | $v_2$             | $v_3$ |
| $2N$                 | I,74               | I,82  | 2,70              | 2,88  |
| $NN'$                | 6,I0               | 6,38  | 3,05              | 3,I9  |
| $2N'$                | 5,09               | 5,34  | 7,90              | 8,42  |
| $2N\pi$              | I6,I               | I6,9  | I6,6              | I7,6  |
| $NN'\pi$             | 30,2               | 3I,7  | 3I,0              | 32,9  |
| $2N'\pi$             | I3,5               | I4,2  | II,5              | I2,2  |
| $2N^2\pi$            | 8,88               | 9,30  | 9,I0              | 9,67  |
| $NN^2\pi$            | 9,42               | 9,87  | 8,67              | 9,I9  |
| $2N^2\pi$            | I,I7               | I,22  | I,II              | I,I8  |
| $2N^3\pi$            | I,40               | I,47  | I,35              | I,43  |
| $NN^3\pi$            | 0,70I              | 0,734 | 0,645             | 0,684 |

- 12 -

5 Бэв

Т а б л и ц а № III.

| Вторичные<br>частицы | Статистический вес (%) |                     |              |              |
|----------------------|------------------------|---------------------|--------------|--------------|
|                      | (pp) - столкновение    | (рп) - столкновение | $\sqrt{s_2}$ | $\sqrt{s_3}$ |
| $2N$                 | 0,356                  | 0,415               | 0,588        | 0,678        |
| $NN'$                | 1,343                  | 1,534               | 0,670        | 0,767        |
| $2N'$                | 1,230                  | 1,405               | 2,00         | 2,30         |
| $2N\pi$              | 6,91                   | 7,89                | 7,33         | 8,44         |
| $NN'\pi$             | 16,42                  | 18,77               | 17,44        | 20,07        |
| $2N'\pi$             | 12,09                  | 13,81               | 10,61        | 12,21        |
| $2N2\pi$             | 9,11                   | 10,40               | 9,66         | 11,09        |
| $NN'2\pi$            | 19,59                  | 22,36               | 18,56        | 21,40        |
| $2N'2\pi$            | 8,79                   | 10,04               | 8,62         | 9,92         |
| $2N3\pi$             | 4,32                   | 4,94                | 4,31         | 4,97         |
| $NN'3\pi$            | 5,47                   | 6,24                | 5,29         | 6,09         |
| $2N'3\pi$            | 1,325                  | 1,513               | 1,244        | 1,431        |

- 13 -

З Бэв.

Т а б л и ц а № IV.

| Вторичные частицы | Статистический вес (%) |                     |         |        |         |         |
|-------------------|------------------------|---------------------|---------|--------|---------|---------|
|                   | (pp)-столкновение      | (пр) - столкновение | $V_1$   | $V_2$  | $V_3$   | $V_1$   |
| $2N$              | 1,57                   | 1,74                | 1,82    | 2,38   | 2,70    | 2,88    |
| $2N\pi$           | 20,1                   | 22,2                | 23,3    | 17,5   | 19,6    | 20,8    |
| $2N2\pi$          | 39,8                   | 44,2                | 46,3    | 42,6   | 48,0    | 51,0    |
| $2N3\pi$          | 21,9                   | 24,3                | 25,5    | 19,2   | 21,5    | 22,8    |
| $2N4\pi$          | 1,68                   | 1,87                | 1,96    | 1,56   | 1,75    | 1,86    |
| $NK$              | 4,77                   | 1,85                | 0,0867  | 7,26   | 2,87    | 0,137   |
| $N\Sigma K$       | 6,22                   | 2,41                | 0,213   | 6,29   | 2,47    | 0,117   |
| $N\pi\Lambda K$   | 2,01                   | 0,709               | 0,0332  | 1,40   | 0,476   | 0,0224  |
| $N\pi\Sigma K$    | 1,818                  | 0,639               | 0,0299  | 1,84   | 0,655   | 0,0311  |
| $2N\tilde{K}K$    | 0,0695                 | 0,03915             | 0,03959 | 0,0821 | 0,02110 | 0,02117 |

Таблица

Зарядовые состояния  
Зарядовый множитель

Статистический вес (%)

(pp)-столкновение

|                           | $T(0)$ | $T(1/2)$ | $T(1)$ | $V_2$  | $V_3$   | $V_4$  |
|---------------------------|--------|----------|--------|--------|---------|--------|
| $\Lambda \Lambda K^+$     | 1/2    | 1/2      | 1      | 1,85   | 0,0867  | 1,43   |
| $K^0$                     | 1/2    | 1/2      | 0      | 0      | 0       | 1,43   |
| $\Lambda \Sigma^+ K^0$    | 0      | 0        | 3/4    | 0,903  | 0,0424  | 0      |
| $\Sigma^- K^0$            | 1/3    | 1/2      | 3/4    | 0,903  | 0,0424  | 0,722  |
| $\Sigma^+ K^0$            | 1/6    | 1/2      | 1/2    | 0,602  | 0,0282  | 0,512  |
| $\Sigma^- K^+$            | 1/6    | 1/2      | 0      | 0      | 0       | 0,512  |
| $\Sigma^+ K^0$            | 1/3    | 1/2      | 0      | 0      | 0       | 0,722  |
| $\Sigma^- K^0$            | 0      | 0        | 0      | 0      | 0       | 0      |
| $\Lambda \Lambda K^+$     | 0      | 1/2      | 1/4    | 0,120  | 0,02562 | 0,120  |
| $K^0$                     | 0      | 1/2      | 3/4    | 0,358  | 0,0169  | 0,120  |
| $\Lambda \Sigma^+ K^+$    | 1/4    | 9/20     | 3/10   | 0,0639 | 0,0230  | 0,104  |
| $\Sigma^- K^0$            | 1/12   | 7/20     | 3/10   | 0,0639 | 0,030   | 0,0559 |
| $\Sigma^+ K^+$            | 1/6    | 1/5      | 7/20   | 0,0746 | 0,0235  | 0,0586 |
| $\Sigma^- K^0$            | 1/6    | 1/5      | 9/20   | 0,0958 | 0,0245  | 0,0586 |
| $\Sigma^- K^+$            | 1/12   | 7/20     | 3/5    | 0,128  | 0,0260  | 0,0559 |
| $\Sigma^- K^0$            | 1/4    | 9/20     | 0      | 0      | 0       | 0,104  |
| $\Lambda \pi \Lambda K^+$ | 1/2    | 1        | 5/4    | 0,144  | 0,00671 | 0,119  |
| $K^0$                     | 1/2    | 1        | 3/4    | 0,0866 | 0,02402 | 0,119  |

Таблица

| Зарядовые состояния                  | Зарядовый множитель | Статистический вес (%) |         |                      | (pp)-столкновения<br>(pr)-столкновения |
|--------------------------------------|---------------------|------------------------|---------|----------------------|--|
|                                      |                     | T(9,0)                 | T(11,0) | T(11,1)              |  |
| $\Lambda/\bar{\Lambda} \Sigma^+ K^+$ | I/4                 | 9/20                   | 21/20   | 0,0559               | 0,0 <sup>2</sup> 260                   |
| $\Sigma^+ K^0$                       | 5/I2                | I7/20                  | 21/20   | 0,0559               | 0,0 <sup>2</sup> 260                   |
| $\Sigma^0 K^+$                       | I/3                 | 7/I0                   | I7/20   | 0,0453               | 0,0 <sup>2</sup> 217                   |
| $\Sigma^0 K^0$                       | I/3                 | 7/I0                   | 9/20    | 0,0240               | 0,0 <sup>2</sup> 176                   |
| $\Sigma^- K^+$                       | 5/I2                | I7/20                  | 3/5     | 0,0320               | 0,0 <sup>2</sup> 176                   |
| $\Sigma^- K^0$                       | I/4                 | 9/20                   | 0       | 0                    | 0,0 <sup>2</sup> 217                   |
| $\Lambda/\bar{\Lambda} \Lambda K^+$  | I/2                 | I                      | 5/4     | 0,0 <sup>2</sup> 292 | 0,0 <sup>3</sup> 136                   |
| $K^0$                                | I/2                 | I                      | 3/4     | 0,0 <sup>2</sup> 875 | 0,0 <sup>3</sup> 184                   |
| $2N \bar{D}^0 K^+$                   | I/3                 | I/2                    | 3/2     | 0,0 <sup>3</sup> 458 | 0,0 <sup>3</sup> 480                   |
| $\bar{K}^0 K^0$                      | 2/3                 | I/2                    | 3/4     | 0,0 <sup>3</sup> 229 | 0,0 <sup>3</sup> 240                   |
| $K^- K^+$                            | 2/3                 | I/2                    | 3/4     | 0,0 <sup>3</sup> 229 | 0,0 <sup>3</sup> 240                   |
| $K^- K^0$                            | I/3                 | I/2                    | 0       | 0                    | 0,0 <sup>3</sup> 183                   |

Таблица VI.

| Вторичные<br>частицы | Статистический вес (%) |            |            |                   |            |            |
|----------------------|------------------------|------------|------------|-------------------|------------|------------|
|                      | (pp)-столкновение      |            |            | (пп)-столкновение |            |            |
|                      | $v_1$                  | $v_2$      | $v_3$      | $v_1$             | $v_2$      | $v_3$      |
| $2N$                 | 0,272                  | 0,362      | 0,414      | 0,433             | 0,588      | 0,676      |
| $2N\pi$              | 6,20                   | 8,25       | 9,42       | 5,92              | 8,00       | 9,20       |
| $2N\pi\pi$           | 20,10                  | 26,75      | 30,54      | 21,50             | 29,10      | 33,50      |
| $2N\pi\pi$           | 27,00                  | 36,00      | 41,10      | 24,76             | 33,47      | 38,45      |
| $2N\pi\pi$           | 10,80                  | 14,25      | 16,30      | 10,29             | 13,92      | 16,00      |
| $2N\pi\pi$           | 1,00                   | 1,32       | 1,51       | 0,92              | 1,24       | 1,42       |
| $NK$                 | 3,00                   | 1,394      | 0,0712     | 4,78              | 2,27       | 0,1166     |
| $N\Sigma K$          | 5,10                   | 2,37       | 0,1212     | 5,32              | 2,52       | 0,1295     |
| $N\pi\Lambda K$      | 6,52                   | 2,66       | 0,1350     | 5,15              | 2,01       | 0,1034     |
| $N\pi\Sigma K$       | 10,50                  | 4,27       | 0,201      | 11,00             | 4,53       | 0,224      |
| $2N\bar{K}K$         | 1,70                   | 0,0268     | 0,0307     | 2,10              | 0,0335     | 0,0386     |
| $N\Xi 2K$            | 0,109                  | $0,0^2171$ | $0,0^4674$ | 0,134             | $0,0^2215$ | $0,0^4847$ |
| $2\Lambda 2K$        | 0,0243                 | $0,0^3383$ | $0,0^6463$ | 0,0390            | $0,0^3625$ | $0,0^6757$ |
| $1\Sigma 2K$         | 0,0472                 | $0,0^3744$ | $0,0^6900$ | 0,0500            | $0,0^3792$ | $0,0^6959$ |
| $2\Sigma 2K$         | 0,0183                 | $0,0^3285$ | $0,0^6348$ | 0,0192            | $0,0^3307$ | $0,0^6372$ |
| $N2\pi\Lambda K$     | 2,60                   | 0,881      | 0,0446     | 2,72              | 0,935      | 0,0476     |
| $N\pi\Sigma K$       | 4,01                   | 1,377      | 0,0696     | 3,94              | 1,350      | 0,0687     |
| $2N\pi\bar{K}K$      | 0,905                  | 0,01424    | 0,01628    | 0,785             | 0,0125     | 0,01437    |

Таблица Уп.

| Зарядовые состояния         | Зарядовый множитель | Статистический вес (%) |                   |          |                   |        |        |
|-----------------------------|---------------------|------------------------|-------------------|----------|-------------------|--------|--------|
|                             |                     | (pp)-столкновения      |                   |          | (pr)-столкновения |        |        |
|                             |                     | $T(0,0)$               | $T(1,0)$          | $T(1,1)$ | $V_2$             | $V_3$  | $V_2$  |
| $\Lambda K^+$               | I/2                 | I/2                    | X <sub>1111</sub> | I        | I,39              | 0,0712 | I,I3   |
| $K^0$                       | I/2                 | I/2                    | 0                 | 0        | 0                 | 0      | I,I3   |
| $\Lambda \Sigma^+ K^+$      | 0                   | 0                      | 3/4               | 0,889    | 0,0455            | 0      | 0      |
| $\Sigma^+ K^0$              | I/3                 | I/2                    | 3/4               | 0,889    | 0,0455            | 0,74I  | 0,0382 |
| $\Sigma^0 K^+$              | I/6                 | I/2                    | I/2               | 0,593    | 0,0303            | 0,5I8  | 0,0266 |
| $\Sigma^0 K^0$              | I/6                 | I/2                    | 0                 | 0        | 0                 | 0,5I8  | 0,0266 |
| $\Sigma^- K^+ I/3$          | I/2                 | 0                      | 0                 | 0        | 0                 | 0,74I  | 0,0382 |
| $\Sigma^- K^0 0$            | 0                   | 0                      | 0                 | 0        | 0                 | 0      | 0      |
| $\Lambda' \Lambda K^+$      | 0                   | I/2                    | I/4               | 0,354    | 0,0180            | 0,353  | 0,0181 |
| $K^0$                       | 0                   | I/2                    | 3/4               | I,06I    | 0,054I            | 0,353  | 0,0181 |
| $\Lambda' \Sigma^+ K^+$     | I/4                 | 9/20                   | 3/10              | 0,333    | 0,0146            | 0,56I  | 0,027I |
| $\Sigma^+ K^0$              | I/I2                | 7/20                   | 3/10              | 0,333    | 0,0146            | 0,298  | 0,0139 |
| $\Sigma^0 K^+$              | I/6                 | I/5                    | 7/20              | 0,389    | 0,0170            | 0,3I8  | 0,0156 |
| $\Sigma^0 K^0$              | I/6                 | I/5                    | 9/20              | 0,500    | 0,0219            | 0,3I8  | 0,0156 |
| $\Sigma^- K^+ I/I2$         | 7/20                | 3/5                    | 0,667             | 0,0292   | 0,298             | 0,0139 |        |
| $\Sigma^- K^0 I/4$          | 9/20                | 0                      | 0                 | 0        | 0,56I             | 0,027I |        |
| $\Lambda \bar{\Lambda} K^+$ | I/2                 | I                      | 5/4               | 0,786    | 0,0394            | 0,659  | 0,0336 |
| $K^0 I/2$                   | I                   | 3/4                    | 0,466             | 0,0236   | 0,659             | 0,0336 |        |

Таблица УП

| Зарядовые состояния              | Зарядовый множитель | Статистический вес (%)           |        |                |                |                |                |
|----------------------------------|---------------------|----------------------------------|--------|----------------|----------------|----------------|----------------|
|                                  |                     | (pp)-столкновение (пр)-столкнов. |        |                |                |                |                |
|                                  | T(0,0)              | T(1,0)                           | T(1,1) | v <sub>2</sub> | v <sub>3</sub> | v <sub>2</sub> | v <sub>3</sub> |
| NπΣ <sup>+</sup> K <sup>+</sup>  | I/4                 | 9/20                             | 2I/20  | 0,538          | 0,0272         | 0,259          | 0,0132         |
| Σ <sup>+</sup> K <sup>0</sup>    | 5/I2                | I7/20                            | 2I/20  | 0,538          | 0,0272         | 0,457          | 0,0233         |
| Σ <sup>0</sup> K <sup>+</sup>    | I/3                 | 7/I0                             | I7/20  | 0,436          | 0,0220         | 0,370          | 0,0190         |
| Σ <sup>0</sup> K <sup>0</sup>    | I/3                 | 7/I0                             | 9/20   | 0,230          | 0,0117         | 0,370          | 0,0190         |
| Σ <sup>-</sup> K <sup>+</sup>    | 5/I2                | I7/20                            | 3/5    | 0,307          | 0,0156         | 0,457          | 0,0233         |
| Σ <sup>-</sup> K <sup>0</sup>    | I/4                 | 9/20                             | 0      | 0              | 0              | 0,259          | 0,0132         |
| N'πΛK <sup>+</sup>               | I/2                 | I                                | 5/4    | 0,427          | 0,0217         | 0,363          | 0,0185         |
| K <sup>0</sup>                   | I/2                 | I                                | 3/4    | 0,256          | 0,0129         | 0,363          | 0,0165         |
| 2N K <sup>0</sup> K <sup>+</sup> | I/3                 | I/2                              | 3/2    | 0,0135         | 0,0154         | 0,02559        | 0,02643        |
| K <sup>0</sup> K <sup>0</sup>    | 2/3                 | I                                | 3/4    | 0,02673        | 0,02767        | 0,0112         | 0,0129         |
| K <sup>-</sup> K <sup>+</sup>    | 2/3                 | I                                | 3/4    | 0,02673        | 0,02767        | 0,0112         | 0,0129         |
| K <sup>-</sup> K <sup>0</sup>    | I/3                 | I/2                              | 0      | 0              | 0              | 0,02559        | 0,02643        |
| N'πΣ <sup>+</sup> K <sup>+</sup> | I/4                 | I3/20                            | II/I0  | 0,216          | 0,01093        | 0,118          | 0,02606        |
| Σ <sup>+</sup> K <sup>0</sup>    | 5/I2                | I9/20                            | II/I0  | 0,216          | 0,01093        | 0,185          | 0,02943        |
| Σ <sup>0</sup> K <sup>+</sup>    | I/3                 | 9/I0                             | I9/20  | 0,186          | 0,02944        | 0,161          | 0,02824        |
| Σ <sup>0</sup> K <sup>0</sup>    | I/3                 | 9/I0                             | I3/20  | 0,128          | 0,02646        | 0,161          | 0,02824        |
| Σ <sup>-</sup> K <sup>+</sup>    | 5/I2                | I9/20                            | 7/I0   | 0,137          | 0,02696        | 0,185          | 0,02943        |
| Σ <sup>-</sup> K <sup>0</sup>    | I/4                 | I3/20                            | I/2    | 0,0980         | 0,02497        | 0,118          | 0,02606        |

| Зарядовые состояния | Зарядовый множитель  | Статистический вес (%) |          |          |                      |                       |                      |                      |
|---------------------|----------------------|------------------------|----------|----------|----------------------|-----------------------|----------------------|----------------------|
|                     |                      | (pp)-столкновения      |          |          | (pr)-столкновен.     |                       |                      |                      |
|                     |                      | $T(0,0)$               | $T(1,0)$ | $T(1,1)$ | $V_2$                | $V_3$                 | $V_4$                | $V_5$                |
| I                   | $NN^{\bar{K}^0 K^+}$ | I/3                    | 4/5      | 3/5      | 0,0 <sup>2</sup> 279 | 0,0 <sup>2</sup> 319  | 0,0 <sup>2</sup> 360 | 0,0 <sup>2</sup> 827 |
|                     | $\bar{K}^0 K^0$      | I/6                    | 7/I0     | 9/I0     | 0,0 <sup>2</sup> 418 | 0,0 <sup>2</sup> 478  | 0,0 <sup>2</sup> 250 | 0,0 <sup>2</sup> 573 |
|                     | $K^- K^+$            | I/6                    | 7/I0     | 9/I0     | 0,0 <sup>2</sup> 418 | 0,0 <sup>2</sup> 478  | 0,0 <sup>2</sup> 250 | 0,0 <sup>2</sup> 573 |
|                     | $K^- K^0$            | I/3                    | 4/5      | 2/5      | 0,0 <sup>2</sup> 279 | 0,0 <sup>2</sup> 319  | 0,0 <sup>2</sup> 360 | 0,0 <sup>2</sup> 827 |
| I                   | $NN^{\bar{K}^0 K^+}$ | I/3                    | 4/5      | 8/5      | 0,0 <sup>3</sup> 147 | 0,0 <sup>3</sup> 168  | 0,0 <sup>4</sup> 7I4 | 0,0 <sup>4</sup> 822 |
|                     | $\bar{K}^0 K^0$      | 2/3                    | 6/5      | 9/I0     | 0,0 <sup>4</sup> 830 | 0,0 <sup>4</sup> 948  | 0,0 <sup>3</sup> I24 | 0,0 <sup>3</sup> I43 |
|                     | $K^- K^+$            | 2/3                    | 6/5      | 9/I0     | 0,0 <sup>4</sup> 830 | 0,0 <sup>4</sup> 948  | 0,0 <sup>3</sup> I24 | 0,0 <sup>3</sup> I43 |
|                     | $K^- K^0$            | I/3                    | 4/5      | 3/5      | 0,0 <sup>4</sup> 554 | 0,0 <sup>4</sup> 633  | 0,0 <sup>4</sup> 7I4 | 0,0 <sup>4</sup> 822 |
| $N\Xi\Lambda K^+$   | $K^0$                | I                      | 2        | 5/2      | 0,I24                | 0,0 <sup>2</sup> 622  | 0,I05                | 0,0 <sup>2</sup> 522 |
|                     | $K^0$                | I                      | 2        | 3/2      | 0,0743               | 0,0 <sup>2</sup> 373  | 0,I05                | 0,0 <sup>2</sup> 529 |
| $N\Xi\Sigma^+ K^+$  | $\Sigma^+ K^0$       | I/2                    | II/I0    | 43/20    | 0,0948               | 0,0 <sup>2</sup> 476  | 0,0520               | 0,0 <sup>2</sup> 264 |
|                     | $\Sigma^+ K^0$       | 5/6                    | 9/5      | 43/20    | 0,0948               | 0,0 <sup>2</sup> 476  | 0,0860               | 0,0 <sup>2</sup> 436 |
|                     | $\Sigma^0 K^+$       | 2/3                    | 8/5      | 9/5      | 0,0793               | 0,0 <sup>2</sup> 398  | 0,0723               | 0,0 <sup>2</sup> 366 |
|                     | $\Sigma^0 K^0$       | 2/3                    | 8/5      | II/I0    | 0,0485               | 0,0 <sup>2</sup> 243  | 0,0723               | 0,0 <sup>2</sup> 366 |
|                     | $\Sigma^- K^+$       | 5/6                    | 9/5      | II3/I0   | 0,0573               | 0,0 <sup>2</sup> 288  | 0,0860               | 0,0 <sup>2</sup> 436 |
|                     | $\Sigma^- K^0$       | I/2                    | II/I0    | I/2      | 0,022I               | 0,0 <sup>2</sup> II05 | 0,0520               | 0,0 <sup>2</sup> 264 |
| $\Xi\Xi^0 K^+ K^+$  | $\Xi^0 K^+ K^0$      | 0                      | 0        | 3/4      | 0,0 <sup>3</sup> 429 | 0,0 <sup>4</sup> 168  | 0                    | 0                    |
|                     | $\Xi^0 K^+ K^0$      | 2/3                    | I        | 3/2      | 0,0 <sup>3</sup> 859 | 0,0 <sup>4</sup> 336  | 0,0 <sup>3</sup> 7I4 | 0,0 <sup>4</sup> 282 |
|                     | $\Xi^- K^+ K^+$      | I/3                    | I/2      | 3/4      | 0,0 <sup>3</sup> 429 | 0,0 <sup>4</sup> 168  | 0,0 <sup>3</sup> 357 | 0,0 <sup>4</sup> I4I |
|                     | $\Xi^0 K^0 K^0$      | I/3                    | I/2      | 0        | 0                    | 0                     | 0,0 <sup>3</sup> 357 | 0,0 <sup>4</sup> I4I |
|                     | $\Xi^- K^+ K^0$      | 2/3                    | I        | 0        | 0                    | 0                     | 0,0 <sup>3</sup> 7I4 | 0,0 <sup>4</sup> 282 |
|                     | $\Xi^- K^0 K^0$      | 0                      | 0        | 0        | 0                    | 0                     | 0                    | 0                    |

Т а б л и ц а УШ

| Реакция                  | (pp)      |                     |           |                     | (пр)      |                     |           |                     |
|--------------------------|-----------|---------------------|-----------|---------------------|-----------|---------------------|-----------|---------------------|
|                          | $V_2$     |                     | $V_3$     |                     | $V_2$     |                     | $V_3$     |                     |
|                          | $\bar{n}$ | W%                  | $\bar{n}$ | W%                  | $\bar{n}$ | W%                  | $\bar{n}$ | W%                  |
| $2N\pi\pi$               | 3,I3      | 86,0                | 3,I3      | 99,0                | 3,I0      | 85,5                | 3,I0      | 99,0                |
| $NAK\pi\pi$              | I,32      | 5904                | I,3I      | 0,258               | I,25      | 5,30                | I,25      | 0,274               |
| $N\Sigma K\pi\pi$        | I,3I      | 8,86                | I,3I      | 0,454               | I,28      | 9,2I                | I,28      | 0,474               |
| $2N\bar{K}K\pi\pi$       | I,I7      | 0,I3I               | I,I7      | 0,I5I               | I,36      | 0,I32               | I,I3      | 0,I54               |
| $2\Lambda 2K\pi\pi$      | 0,I50     | 0,0 <sup>2</sup> 24 | 0,I54     | 0,0 <sup>5</sup> 28 | 0,I03     | 0,0 <sup>2</sup> 37 | 0,I03     | 0,0 <sup>5</sup> 46 |
| $N\Sigma 2K\pi\pi$       | 0,54      | 0,0I35              | 0,45      | 0,0 <sup>3</sup> 46 | 0,46      | 0,0I49              | 0,35      | 0,0 <sup>3</sup> 52 |
| $\Lambda\Sigma 2K\pi\pi$ | 0,I76     | 0,0 <sup>2</sup> 49 | 0,I69     | 0,0 <sup>5</sup> 59 | 0,I79     | 0,0 <sup>2</sup> 52 | 0,I72     | 0,0 <sup>5</sup> 64 |
| $2\Sigma 2K\pi\pi$       | 0,I3I     | 0,0 <sup>2</sup> 42 | 0,I37     | 0,0 <sup>5</sup> I  | 0,I25     | 0,0 <sup>2</sup> 44 | 0,I27     | 0,0 <sup>5</sup> 55 |
| $3N\bar{N}\pi\pi$        | 0,024     | 0,074               | 0,025     | 0,085I              | 0,020     | 0,094               | 0,024     | 0,I09               |

Таблица IX (10 Bev)

| Реакция                           | (pp)      |                     |           |                      | (пр)      |                     |           |                      |
|-----------------------------------|-----------|---------------------|-----------|----------------------|-----------|---------------------|-----------|----------------------|
|                                   | $V_2$     |                     | $V_3$     |                      | $V_2$     |                     | $V_3$     |                      |
|                                   | $\bar{n}$ | W%                  | $\bar{n}$ | W%                   | $\bar{n}$ | W%                  | $\bar{n}$ | W%                   |
| $2N\pi\pi$                        | 3,70      | 83,7                | 3,70      | 95,7                 | 3,67      | 83,0                | 3,67      | 95,5                 |
| $N\Lambda K\pi\pi$                | I,74      | 4,I4                | I,74      | 0,210                | I,71      | 4,40                | I,70      | 0,225                |
| $N\Sigma K\pi\pi$                 | I,76      | 8,01                | I,75      | 0,405                | I,73      | 8,26                | I,72      | 0,420                |
| $2N\bar{K}K\pi\pi$                | I,62      | 0,213               | I,81      | 0,283                | I,60      | 0,220               | I,78      | 0,290                |
| $2\Lambda 2K\pi\pi$               | 0,33      | 0,0 <sup>2</sup> 36 | 0,34      | 0,0 <sup>5</sup> 44  | 0,24      | 0,0 <sup>2</sup> 54 | 0,24      | 0,0 <sup>5</sup> 66  |
| $N\Xi 2K\pi\pi$                   | 0,87      | 0,039               | 0,80      | 0,0 <sup>2</sup> 15  | 0,79      | 0,042               | 0,72      | 0,0 <sup>2</sup> 16  |
| $\Sigma 2K\pi\pi$                 | 0,32      | 0,0120              | 0,48      | 0,0 <sup>5</sup> 93  | 0,32      | 0,0129              | 0,49      | 0,0 <sup>4</sup> 103 |
| $\Sigma 2K\pi\pi$                 | -0,31     | 0,0106              | 0,31      | 0,0 <sup>4</sup> 127 | 0,29      | 0,0112              | 0,29      | 0,0 <sup>4</sup> 136 |
| $3N\tilde{\Lambda}\pi\pi$         | I,21      | 2,94                | I,20      | 3,34                 | I,I7      | 3,03                | I,I7      | 3,49                 |
| $2N\tilde{\Lambda}1\pi\pi$        | 0,39      | 0,18                | 0,40      | 0,0 <sup>2</sup> 25  | 0,21      | 0,24                | 0,19      | 0,0 <sup>2</sup> 32  |
| $2N\tilde{\Lambda}2\pi\pi$        | -0,29     | 0,21                | 0,28      | 0,0 <sup>2</sup> 29  | 0,29      | 0,24                | 0,28      | 0,0 <sup>2</sup> 32  |
| $2N\Lambda\Sigma\pi\pi$           | 0,29      | 0,21                | 0,28      | 0,0 <sup>2</sup> 29  | 0,29      | 0,24                | 0,28      | 0,0 <sup>2</sup> 32  |
| $2N\Sigma\Sigma\pi\pi$            | 0,21      | 0,24                | 0,19      | 0,0 <sup>2</sup> 32  | 0,20      | 0,25                | 0,171     | 0,0 <sup>2</sup> 35  |
| $N\Xi 2\Lambda\pi\pi$             |           | 0,016               |           | 0,0 <sup>5</sup> 74  |           | 0,027               |           | 0,0 <sup>4</sup> 13  |
| $2N\Xi\Sigma\pi\pi$               |           | 0,0 <sup>2</sup> 93 |           | 0,0 <sup>3</sup> 13  |           | 0,012               |           | 0,0 <sup>3</sup> 16  |
| $N\Sigma\Sigma\pi\pi$             |           | 0,0 <sup>2</sup> 52 |           | 0,0 <sup>5</sup> 24  |           | 0,0 <sup>2</sup> 56 |           | 0,0 <sup>5</sup> 27  |
| $3N\tilde{\Lambda}K\pi\pi$        | x         | 0,0 <sup>3</sup> 27 |           | 0,0 <sup>4</sup> 14  |           | 0,0 <sup>3</sup> 35 |           | 0,0 <sup>4</sup> 18  |
| $2N\tilde{\Lambda}1K\pi\pi$       | x         | 0,0 <sup>3</sup> 81 |           | 0,0 <sup>4</sup> 41  |           | 0,0 <sup>2</sup> 10 |           | 0,0 <sup>4</sup> 53  |
| $3N\Sigma K\pi\pi$                |           | 0,0 <sup>3</sup> 13 |           | 0,0 <sup>5</sup> 67  |           | 0,0 <sup>4</sup> 74 |           | 0,0 <sup>5</sup> 73  |
| $2N\tilde{\Lambda}\Sigma K\pi\pi$ |           | 0,0 <sup>3</sup> 40 |           | 0,0 <sup>4</sup> 20  |           | 0,0 <sup>3</sup> 80 |           | 0,0 <sup>4</sup> 22  |

таблица X<sub>0</sub> (7 Bev)

|   | (pp)   | $\bar{W}_2 \%$   | $\bar{W}_2 \%$   | (np)   | $\bar{W}_2 \%$   |
|---|--|--|--|--|--|
| $\sum_n \pi^- N \bar{K}^+ K^0$          | 3,05<br>1,99   | 0,156<br>0,102   | 2,65<br>2,65   | 0,137<br>0,137   | 0,137<br>0,137   |
| $\sum_n \pi^- N \Sigma^+ \bar{K}^+ K^0$ | 2,14<br>2,14   | 0,110<br>0,110   | 1,17<br>1,86   | 0,0603<br>0,0960   | 0,0603<br>0,0960   |
| $\Sigma^0 \bar{K}^+ K^0$                | 1,79   | 0,092  | 1,56   | 0,0806   | 0,0806   |
| $\Sigma^0 \bar{K}^0 K^0$                | 1,10   | 0,056  | 1,56   | 0,0806   | 0,0806   |
| $\Sigma^- \bar{K}^+ K^0$                | 1,35   | 0,069  | 1,86   | 0,0960   | 0,0960   |
| $\Sigma^- \bar{K}^0 K^0$                | 0,33   | 0,017  | 1,17   | 0,0603   | 0,0603   |
| $\sum_n \pi^- 2N \bar{K}^0 K^+$         | 0,040<br>0,034<br>0,034<br>0,018   | 0,046<br>0,040<br>0,040<br>0,021   | 0,030<br>0,035<br>0,035<br>0,040   | 0,035<br>0,040<br>0,040<br>0,035   | 0,035<br>0,040<br>0,040<br>0,035   |
| $\sum_n \pi^- N \Xi^0 \bar{K}^+ K^+$    | 0,0 <sup>2</sup> 21<br>0,0 <sup>2</sup> 43<br>0,0 <sup>2</sup> 21<br>0,0 <sup>2</sup> 10<br>0,0 <sup>2</sup> 19<br>0 | 0,0 <sup>4</sup> 84<br>0,0 <sup>3</sup> 17<br>0,0 <sup>4</sup> 84<br>0,0 <sup>4</sup> 38<br>0,0 <sup>4</sup> 76<br>0 | 0,0 <sup>3</sup> 83<br>0,0 <sup>2</sup> 37<br>0,0 <sup>2</sup> 18<br>0,0 <sup>2</sup> 18<br>0,0 <sup>2</sup> 37<br>0,0 <sup>3</sup> 83 | 0,0 <sup>4</sup> 33<br>0,0 <sup>3</sup> 15<br>0,0 <sup>4</sup> 73<br>0,0 <sup>4</sup> 73<br>0,0 <sup>3</sup> 15<br>0,0 <sup>4</sup> 33 | 0,0 <sup>4</sup> 33<br>0,0 <sup>3</sup> 15<br>0,0 <sup>4</sup> 73<br>0,0 <sup>4</sup> 73<br>0,0 <sup>3</sup> 15<br>0,0 <sup>4</sup> 33 |

( 10 Бэв)

Таблица № X.

|                        | $\bar{W}_1 \%$ | $\bar{W}_2 \%$ | $\bar{W}_1 \%$ | $\bar{W}_2 \%$ |
|------------------------|----------------|----------------|----------------|----------------|
| $n\pi NNK^+$           |                |                |                |                |
| $K^0$                  | 2,48           | 0,126          | 2,20           | 0,112          |
| $K^+$                  | 1,66           | 0,084          | 2,20           | 0,112          |
| $n\pi N\Sigma^+K^+$    |                |                |                |                |
| $\Sigma^+K^0$          | 1,86           | 0,094          | 1,08           | 0,091          |
| $\Sigma^0K^+$          | 1,86           | 0,094          | 1,64           | 0,128          |
| $\Sigma^0K^0$          | 1,58           | 0,080          | 1,40           | 0,111          |
| $\Sigma^-K^+$          | 1,04           | 0,052          | 1,40           | 0,111          |
| $\Sigma^-K^0$          | 1,23           | 0,063          | 1,64           | 0,128          |
| $\Sigma^-K^0$          | 0,44           | 0,022          | 1,08           | 0,091          |
| $n\pi 2N\bar{K}^0K^+$  |                |                |                |                |
| $\bar{K}^0K^0$         | 0,065          | 0,080          | 0,047          | 0,059          |
| $K^-K^+$               | 0,053          | 0,066          | 0,057          | 0,071          |
| $K^-K^0$               | 0,053          | 0,067          | 0,057          | 0,071          |
| $K^-K^0$               | 0,030          | 0,039          | 0,047          | 0,059          |
| $n\pi N\Sigma^0K^+K^+$ |                |                |                |                |
| $\Sigma^0K^+K^0$       | 0,067          | 0,0325         | 0,0236         | 0,0314         |
| $\Sigma^-K^+K^+$       | 0,0134         | 0,0350         | 0,0117         | 0,0344         |
| $\Sigma^-K^0K^0$       | 0,0267         | 0,0325         | 0,0258         | 0,0323         |
| $\Sigma^-K^+K^0$       | 0,042          | 0,0316         | 0,0258         | 0,0323         |
| $\Sigma^-K^0K^0$       | 0,0283         | 0,0332         | 0,0117         | 0,0344         |
| $\Sigma^-K^0K^0$       | 0,034          | 0,041          | 0,0236         | 0,0314         |

ТАБЛИЦА № X

(10 Гэв)

- 24 -

| Perturb.                                     | pp             |                | n p            |                |
|--|----------------|----------------|----------------|----------------|
|  | $\bar{W}_1 \%$ | $\bar{W}_2 \%$ | $\bar{W}_1 \%$ | $\bar{W}_2 \%$ |
| $n\pi 2N\Lambda \Sigma^- (\Lambda \Sigma^+)$ | 0,136          | 0,02184        | 0,073          | 0,0398         |
| $\Sigma^0 (\Lambda \Sigma^0)$                | 0,062          | 0,0382         | 0,087          | 0,02118        |
| $\Sigma^+ (\Lambda \Sigma^-)$                | 0,016          | 0,0321         | 0,073          | 0,0398         |
| $n\pi 2N\Sigma \Xi^-$                        | 0,122          | 0,02164        | 0,084          | 0,02113        |
| $\Xi^- \Xi^0$                                | 0,075          | 0,02101        | 0,087          | 0,02117        |
| $\Xi^0 \Xi^+$                                | 0,042          | 0,0356         | 0,085          | 0,02114        |
| $n\pi (2\Sigma + 2\Lambda) \Xi^-$            | 0,019          | 0,0589         | 0,016          | 0,0576         |
| $\Xi^- \Xi^0$                                | 0,020          | 0,0691         | 0,016          | 0,0576         |
| $n\pi 2N\Xi \Xi^-$                           | 0,0270         | 0,0495         | 0,0260         | 0,0482         |
| $\Xi^- \Xi^0$                                | 0,0223         | 0,0432         | 0,0260         | 0,0482         |

Таблица № XI.

(PP)

(NP)

| n          | 7 Bev               |                     | 10 Bev           |                    | 7 Bev               |                     | 10 Bev           |                    |
|------------|---------------------|---------------------|------------------|--------------------|---------------------|---------------------|------------------|--------------------|
|            | W <sub>1</sub> %    | W <sub>2</sub> %    | W <sub>1</sub> % | W <sub>2</sub> %   | W <sub>1</sub> %    | W <sub>2</sub> %    | W <sub>1</sub> % | W <sub>2</sub> %   |
| NN Nπ      |                     |                     |                  |                    |                     |                     |                  |                    |
| 0          | 0,084               | 0,097               | 0,0190           | 0,022              | 0,14                | 0,163               | 0,032            | 0,037              |
| I          | 3,36                | 3,88                | I,13             | I,26               | 3,43                | 3,99                | I,19             | I,35               |
| 2          | I7,8                | 20,5                | 8,92             | I0,2               | I9,3                | 22,4                | 9,74             | II,2               |
| 3          | 36,0                | 4I,4                | 26,2             | 30,0               | 34,4                | 39,7                | 25,50            | 29,3               |
| 4          | 22,2                | 25,6                | 29,I             | 33,3               | 22,0                | 25,5                | 29,0             | 33,4               |
| 5          | 6,05                | 6,98                | I4,9             | I7,I               | 5,78                | 6,70                | I4,43            | I6,6               |
| 6          | 0,49                | 0,56                | 2,82             | 3,23               | 0,47                | 0,54                | 2,7I             | 3,I2               |
| 7          |                     |                     | 0,58             | 0,65               |                     |                     | 0,43             | 0,50               |
| N A K Nπ   |                     |                     |                  |                    |                     |                     |                  |                    |
| 0          | 0,68                | 0,035               | 0,28             | 0,0145             | I,13                | 0,059               | 0,47             | 0,025              |
| I          | 2,34                | 0,I20               | I,33             | 0,068              | 2,00                | 0,103               | I,18             | 0,06I              |
| 2          | I,77                | 0,090               | I,79             | 0,09I              | I,90                | 0,098               | I,95             | 0,099              |
| 3          | 0,23                | 0,012               | 0,67             | 0,033              | 0,24                | 0,012               | 0,72             | 0,036              |
| 4          | 0,022               | 0,0 <sup>2</sup> II | 0,07             | 0,0 <sup>2</sup> 4 | 0,022               | 0,0 <sup>2</sup> II | 0,07             | 0,0 <sup>2</sup> 4 |
| N E K Nπ   |                     |                     |                  |                    |                     |                     |                  |                    |
| 0          | I,23                | 0,064               | 0,52             | 0,027              | I,33                | 0,069               | 0,57             | 0,029              |
| I          | 4,04                | 0,207               | 2,44             | 0,I24              | 4,36                | 0,225               | 2,66             | 0,I36              |
| 2          | 3,22                | 0,I65               | 3,63             | 0,I83              | 3,I6                | 0,I62               | 3,64             | 0,I85              |
| 3          | 0,34                | 0,017               | I,28             | 0,064              | 0,33                | 0,017               | I,25             | 0,063              |
| 4          | 0,03I               | 0,0 <sup>2</sup> I5 | 0,I4             | 0,0 <sup>2</sup> 7 | 0,030               | 0,0 <sup>2</sup> I5 | 0,I4             | 0,0 <sup>2</sup> 7 |
| 2 N R K Nπ |                     |                     |                  |                    |                     |                     |                  |                    |
| 0          | 0,022               | 0,025               | 0,020            | 0,023              | 0,028               | 0,032               | 0,026            | 0,030              |
| I          | 0,069               | 0,079               | 0,074            | 0,084              | 0,063               | 0,073               | 0,069            | 0,080              |
| 2          | 0,037               | 0,043               | 0,087            | 0,099              | 0,038               | 0,045               | 0,09I            | 0,I04              |
| 3          | 0,0 <sup>2</sup> 34 | 0,0 <sup>2</sup> 39 | 0,032            | 0,077              | 0,0 <sup>2</sup> 38 | 0,038               | 0,034            | 0,076              |

Таблица № XI.

| n                   | pp 7 Bev            |                     | pp 10 Bev           |                     | (pn) 7 Bev          |                     | (pn) 10 Bev         |                     |
|---------------------|---------------------|---------------------|---------------------|---------------------|---------------------|---------------------|---------------------|---------------------|
|                     | W <sub>1</sub> , %  | W <sub>2</sub> , %  | W <sub>1</sub> , %  | W <sub>2</sub> , %  | W <sub>1</sub> , %  | W <sub>2</sub> , %  | W <sub>1</sub> , %  | W <sub>2</sub> , %  |
| 212K n <sup>+</sup> |                     |                     |                     |                     |                     |                     |                     |                     |
| 0                   | 0,0 <sup>2</sup> 20 | 0,0 <sup>5</sup> 24 | 0,0 <sup>2</sup> 24 | 0,0 <sup>5</sup> 29 | 0,0 <sup>2</sup> 33 | 0,0 <sup>5</sup> 4I | 0,0 <sup>5</sup> 4I | 0,0 <sup>5</sup> 50 |
| I                   | 0,0 <sup>3</sup> 36 | 0,0 <sup>6</sup> 43 | 0,0 <sup>2</sup> I2 | 0,0 <sup>5</sup> I5 | 0,0 <sup>2</sup> 38 | 0,0 <sup>6</sup> 47 | 0,0 <sup>2</sup> I3 | 0,0 <sup>5</sup> I6 |
| 0                   | 0,0 <sup>2</sup> 40 | 0,0 <sup>5</sup> 49 | 0,0 <sup>2</sup> 8I | 0,0 <sup>5</sup> 48 | 0,0 <sup>2</sup> 43 | 0,0 <sup>5</sup> 53 | 0,0 <sup>2</sup> 88 | 0,0 <sup>5</sup> 53 |
| I                   | 0,0 <sup>3</sup> 86 | 0,0 <sup>5</sup> I0 | 0,0 <sup>2</sup> 38 | 0,0 <sup>5</sup> 45 | 0,0 <sup>3</sup> 53 | 0,0 <sup>5</sup> II | 0,0 <sup>2</sup> 4I | 0,0 <sup>5</sup> 50 |
| 0                   | 0,0 <sup>2</sup> 36 | 0,0 <sup>5</sup> 44 | 0,0 <sup>2</sup> 73 | 0,0 <sup>5</sup> 88 | 0,0 <sup>2</sup> 39 | 0,0 <sup>5</sup> 48 | 0,0 <sup>2</sup> 79 | 0,0 <sup>5</sup> 96 |
| I                   | 0,0 <sup>3</sup> 55 | 0,0 <sup>6</sup> 7  | 0,0 <sup>2</sup> 33 | 0,0 <sup>5</sup> 39 | 0,0 <sup>3</sup> 55 | 0,0 <sup>6</sup> 7  | 0,0 <sup>2</sup> 33 | 0,0 <sup>5</sup> 40 |
| 0                   | 0,0 <sup>2</sup> 66 | 0,0 <sup>3</sup> 26 | 0,0I2               | 0,0 <sup>3</sup> 49 | 0,0 <sup>2</sup> 84 | 0,0 <sup>3</sup> 34 | 0,0I6               | 0,0 <sup>3</sup> 63 |
| I                   | 0,0 <sup>2</sup> 65 | 0,0 <sup>3</sup> 20 | 0,02I               | 0,0 <sup>3</sup> 82 | 0,0 <sup>2</sup> 6I | 0,0 <sup>3</sup> I7 | 0,020               | 0,0 <sup>3</sup> 78 |
| 2                   | 0,0 <sup>3</sup> 4I | 0,0 <sup>5</sup> 4  | 0,0 <sup>2</sup> 64 | 0,0 <sup>3</sup> I9 | 0,0 <sup>3</sup> 4I | 0,0 <sup>5</sup> 5  | 0,0 <sup>2</sup> 65 | 0,0 <sup>3</sup> I9 |
| 0                   | 0,072               | 0,083               | 0,52                | 0,59                | 0,092               | 0,I06               | 0,66                | 0,76                |
| I                   | 0,0 <sup>2</sup> I8 | 0,0 <sup>2</sup> I1 | I,34                | I,53                | 0,0 <sup>2</sup> I9 | 0,0 <sup>2</sup> 26 | I,23                | I,42                |
| 2                   |                     |                     | I,03                | I,I7                |                     |                     | I,09                | I,26                |
| 3                   |                     |                     | 0,05                | 0,05                |                     |                     | 0,05                | 0,05                |

Таблица XI.

| Реакции    | PP 10 Bev           |                     | (РН) 10 Bev          |                     |
|------------|---------------------|---------------------|----------------------|---------------------|
|            | W <sub>1</sub> %    | W <sub>2</sub> %    | W <sub>1</sub> %     | W <sub>2</sub> %    |
| 2NΛΛ       | 0,II                | 0,0 <sup>2</sup> I5 | 0,I9                 | 0,0 <sup>2</sup> 26 |
| 2NΛΛΠ      | 0,07                | 0,0 <sup>2</sup> I0 | 0,05                 | 0,0 <sup>3</sup> 6  |
| 2NΛΣ (ΛΣ)  | 0,I5                | 0,0 <sup>2</sup> 2I | 0,I7                 | 0,0 <sup>2</sup> 23 |
| 2NΛΣ (ΛΣ)Π | 0,06                | 0,0 <sup>3</sup> 8  | 0,07                 | 0,0 <sup>3</sup> 9  |
| 2NΣΣ       | 0,I9                | 0,0 <sup>2</sup> 26 | 0,2I                 | 0,0 <sup>2</sup> 29 |
| 2NΣΣΠ      | 0,05                | 0,0 <sup>3</sup> 6  | 0,05                 | 0,0 <sup>3</sup> 6  |
| 2ΛΞΞ       | 0,0 <sup>2</sup> 93 | 0,0 <sup>3</sup> I3 | 0,0I2                | 0,0 <sup>3</sup> I6 |
| ΛΞΞΣ       | 0,0 <sup>2</sup> 52 | 0,0 <sup>5</sup> 24 | 0,0 <sup>2</sup> 56  | 0,0 <sup>5</sup> 27 |
| ΛΞΣΛ       | 0,0I6               | 0,0 <sup>5</sup> 74 | 0,027                | 0,0 <sup>4</sup> I3 |
| 3NΠR       | 0,0 <sup>3</sup> 27 | 0,0 <sup>4</sup> I4 | 0,0 <sup>3</sup> 35  | 0,0 <sup>4</sup> I8 |
| 2NΛΛK      | 0,0 <sup>3</sup> 8I | 0,0 <sup>4</sup> 4I | 0,0 <sup>2</sup> I04 | 0,0 <sup>4</sup> 53 |
| 3NΣΣR      | 0,0 <sup>3</sup> I3 | 0,0 <sup>5</sup> 67 | 0,0 <sup>4</sup> 74  | 0,0 <sup>5</sup> 73 |
| 2NΛΣK      | 0,0 <sup>3</sup> 40 | 0,0 <sup>4</sup> 20 | 0,0 <sup>3</sup> 43  | 0,0 <sup>4</sup> 22 |

Таблица XII.

| E  | N %            |                |                |                | S %            |                |                |                | Y %            |                |                |                |
|----|----------------|----------------|----------------|----------------|----------------|----------------|----------------|----------------|----------------|----------------|----------------|----------------|
|    | PP             |                | РН             |                | PP             |                | РН             |                | PP             |                | РН             |                |
|    | V <sub>2</sub> | V <sub>3</sub> |
| 3  | -              | --             | -              | -              | 2,9            | 0,I3           | 3,4            | 0,I6           | -              | -              | -              | -              |
| 5  | -              | --             | -              | -              | 6,0            | 0,29           | 6,4            | 0,32           | -              | -              | -              | -              |
| 7  | 0,0I6          | 0,0I7          | 0,020          | 0,022          |                |                | 5,9            | 0,34           | 6,3            | 0,36           | -              | -              |
| 10 | 0,56           | 0,59           | 0,58           | 0,62           | 5,I            | 0,32           | 5,4            | 0,34           | 0,I7           | 0,022I         | 0,I9           | 0,02 24        |

Л и т е р а т у р а

- I. С. З. Беленький, Н. И. Некишев ЖЭТФ
2. M.M. Block, Phys. Rev. 101, 796 (1956)
3. И. Л. Розенталь, В. М. Максименко; ЖЭТФ (в печати).
4. С. З. Беленький, И. Л. Розенталь, А. И. Некишев, В. М. Максименко: УФН (в печати)
5. Goldhaber, Proceedings of the Fifth Annual Rochester Conference.
6. Д. И. Блохинцев УФН (1957)
7. В. Е. Вотруба, М. Я. Даныш, Ф. Е. Лоу, Информационные сообщения в Объединенном институте ядерных исследований о 7-ой Рочестерской конференции.
8. И. Е. Тамм, Доклад на конгрессе по теоретической физике в Сиатле США сентябрь 1956 г.
9. Б. С. Неганов, ЖЭТФ (в печати). 33 № 1 (7) (1957).
10. D.C. Peaslee, Phys. Rev. 105, 1934 (1957)
- II. В. С. Барашенков, Б. М. Барбашов; Suppl. de la Nuovo Cim. (направлено в редакцию)
12. O. Chamberlain, E. Segré, C. Wiegand, T. Ypsilantis, Phys. Rev. 100, 947 (1955).
13. W. H. Barkas et. al., Phys. Rev. 105, 1037 (1957).

$S(2N\pi)$

$S_3 > S_2$

50

40

30

20

10

5

1

$2N2\pi$

$2N3\pi$

$2N4\pi$

$2N5\pi$

$E_{\text{kin}}$

3

5

7

10

$S(\Lambda\Sigma 2K\pi)$

0.05

0.01

0.005

$\Lambda\Sigma 2K\pi$

$\Lambda\Sigma 2K\pi$

5

7

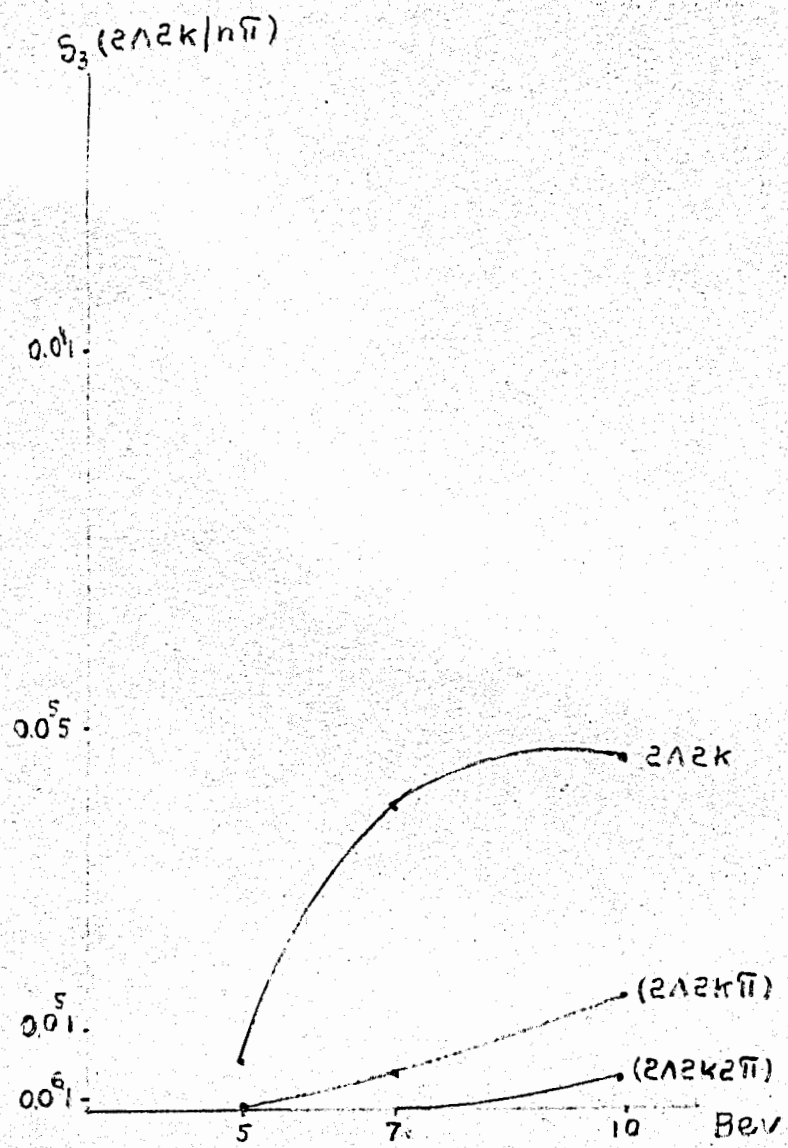
10

13

15

Зависимость статистического веса реакции  
 $N + N \rightarrow NN\pi\pi$  и  $N + N \rightarrow \Lambda\Sigma 2K\pi$  от энергии  
и знака  $\pi$ -мезонов.

-30-



Зависимость статистического веса реакций  
 $N + N \rightarrow 2\Lambda 2K\pi\bar{\pi}$  от энергии и числа  
родившихся  $\pi$ -мезонов.